

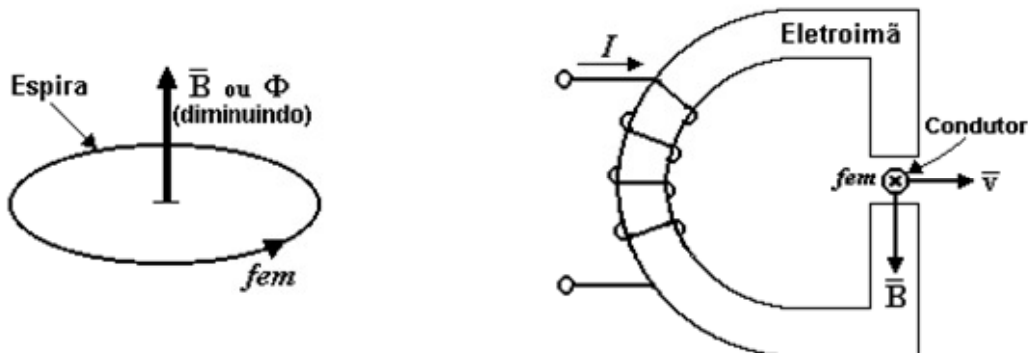
Capítulo IX

CAMPOS VARIÁVEIS NO TEMPO E AS EQUAÇÕES DE MAXWELL

9.1 – A LEI DE FARADAY

Haverá uma força eletromotriz, *fem*, ou tensão induzida, em qualquer uma das seguintes situações:

1. Um caminho fechado estacionário é enlaçado por um fluxo magnético variável no tempo;
2. Um caminho (fechado) se movimenta com relação a um fluxo magnético estacionário;
3. Um caminho (fechado) móvel enlaçado por um fluxo magnético variável no tempo (1 + 2).



A **lei de Faraday** quantifica esta *fem* estabelecendo que ela é proporcional a taxa de variação de fluxo que atravessa o caminho fechado (que não precisa ser condutor), sendo expressa por:

$$\boxed{fem = -\frac{d\Phi}{dt}} \quad [V] \quad (\text{para um caminho fechado}) \quad (01)$$

ou,

$$\boxed{fem = -N\frac{d\Phi}{dt}} \quad [V] \quad (\text{para um caminho fechado com N espiras - bobina}) \quad (02)$$

Nota: O sinal menos das equações acima provém da **lei de Lenz** a qual indica que a *fem* está numa direção (ou possui uma polaridade) tal a produzir um fluxo magnético de oposição à variação do fluxo original.

A *fem induzida* é definida como uma tensão induzida num caminho fechado, sendo expressa por:

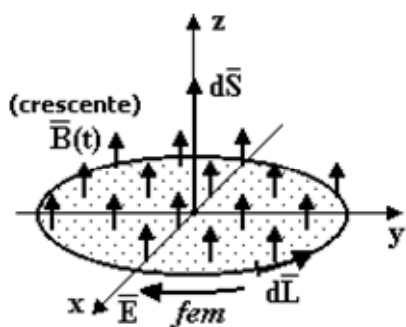
$$fem = \oint_C \vec{E} \cdot d\vec{L} \quad (03)$$

Substituindo $\Phi = \int_S \vec{B} \cdot d\vec{S}$ em (01) e igualando com (03):

$$\boxed{fem = \oint_C \vec{E} \cdot d\vec{L} = -\frac{d}{dt} \int_S \vec{B} \cdot d\vec{S}} \quad (04)$$

onde

C = contorno da área S ao redor do qual a integral de linha é calculada,
S = área limitada pelo contorno C onde a integral de superfície é calculada.
(Nota: a área S não precisa ser plana)



Nota: Na equação (04), o sentido de $d\vec{L}$ deve sempre concordar com o sentido de $d\vec{S}$ de acordo com a regra da mão direita ou do saca-rolhas (ver figura ao lado). Os dedos indicam a direção do caminho fechado, ou de $d\vec{L}$, e o polegar indica a direção de $d\vec{S}$. Adota-se para a *fem* o mesmo sentido de $d\vec{L}$. Se o valor da *fem* for negativo, então seu sentido real (ver figura) é o contrário daquele de $d\vec{L}$.

Vamos agora separar a análise da *fem* em 3 partes, calculando:

- (1) a contribuição para a *fem* total por um campo magnético que varia dentro de um caminho fechado estacionário - fem variacional ou de transformador,
- (2) a contribuição para a *fem* total por um caminho ou contorno que se move sob a ação de um campo magnético constante - fem de velocidade ou de gerador,
- (3) a *fem* total, correspondendo a soma de (1) e (2).

9.1.1 – Fem devido a um campo que varia dentro de um caminho fechado estacionário

Passando a derivada para dentro da integral de superfície do lado direito de (04), obtemos:

$$fem = \oint \vec{E} \cdot d\vec{L} = - \oint_S \frac{\partial \vec{B}}{\partial t} \cdot d\vec{S} \quad (\text{Equação de Maxwell, forma integral}) \quad (05)$$

Usando o teorema de Stokes e transformando a integral de linha fechada em integral da superfície envolvida pela linha,

$$\oint_S \vec{\nabla} \times \vec{E} \cdot d\vec{S} = - \oint_S \frac{\partial \vec{B}}{\partial t} \cdot d\vec{S}$$

Igualando os integrandos, chegamos a:

$$\vec{\nabla} \times \vec{E} = - \frac{\partial \vec{B}}{\partial t} \quad (\text{Equação de Maxwell, forma pontual}) \quad (06)$$

Notas:

- (a) As equações (05) e (06), chamadas de equações de Maxwell nas formas integral e pontual, respectivamente, são obtidas da lei de Faraday aplicada a um caminho ou circuito fechado.
- (b) Se \vec{B} não é função do tempo, as equações (05) e (06) reduzem às equações eletrostáticas:

$$\oint \vec{E} \cdot d\vec{L} = 0$$

$$\vec{\nabla} \times \vec{E} = 0$$

Exemplo: Seja um campo magnético simples o qual aumenta exponencialmente com o tempo dentro de uma região cilíndrica $\rho < b$ e expresso por $\vec{B} = B_0 e^{kt} \vec{a}_z$, sendo B_0 uma constante. Determinar a *fem* e o campo elétrico \vec{E} induzidos num contorno circular (espira) de raio $\rho = a$, $a < b$ (ver figura abaixo), situado no plano $z = 0$.

Solução: Tomando $\vec{E} = E_\phi \vec{a}_\phi$ (adotando o sentido anti-horário) na espira, e aplicando a equação (05) obtemos:

$$fem = 2\pi a E_\phi = -kB_0 e^{kt} \pi a^2$$

Logo, obtemos na espira de raio $\rho = a$

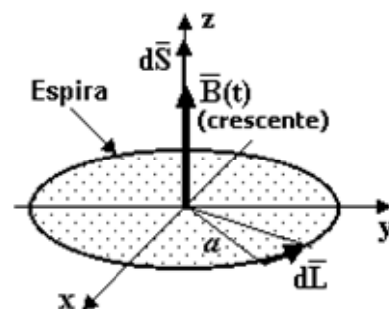
$$fem = -kB_0 e^{kt} \pi a^2 \quad (\text{sentido real é horário})$$

$$E_\phi = -\frac{1}{2} kB_0 e^{kt} a \quad (\text{sentido real é horário})$$

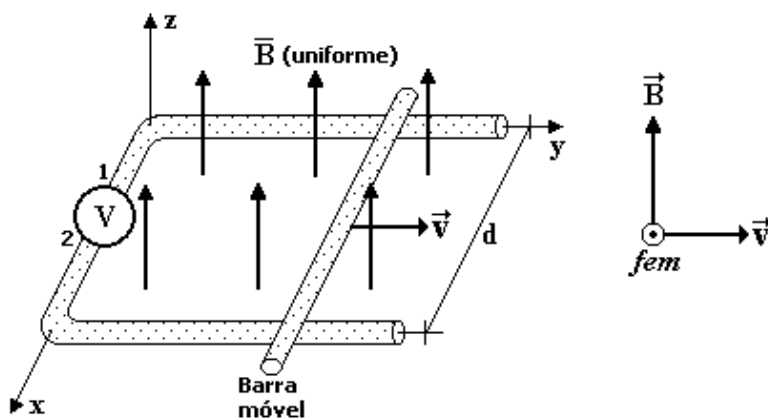
Genericamente, as expressões de fem e \vec{E} para qualquer ρ , $\rho < b$, são dadas por:

$$fem = -kB_0 e^{kt} \pi \rho^2 \quad \vec{E} = -\frac{1}{2} kB_0 e^{kt} \rho \vec{a}_\phi$$

Nota: Refaça este exercício usando a equação de Maxwell na forma pontual (06).



9.1.2 – Fem devido a um campo estacionário e um caminho móvel



O fluxo que atravessa a superfície contida pelo caminho fechado em um tempo t é:

$$\Phi = BS = Byd$$

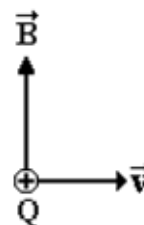
A partir da lei de Faraday (fem adotada no sentido anti-horário), obtemos :

$$fem = -\frac{d\Phi}{dt} = -B \frac{dy}{dt} d \Rightarrow \boxed{fem = -Bvd} \quad (07)$$

Para uma carga Q movendo-se a uma velocidade \vec{v} em um campo magnético \vec{B} , tem-se:

$$\vec{F} = Q\vec{v} \times \vec{B} \Rightarrow \frac{\vec{F}}{Q} = \vec{v} \times \vec{B} \Rightarrow \boxed{\vec{E}_m = \vec{v} \times \vec{B}} \quad (08)$$

onde \vec{E}_m representa um campo elétrico de movimento (que gera fem)



Assim, temos:

$$\boxed{fem = \oint \vec{E}_m \cdot d\vec{L} = \oint (\vec{v} \times \vec{B}) \cdot d\vec{L}} \quad (09)$$

No caso do condutor que se move sob a ação do campo magnético (figura acima), obtemos:

$$fem = \oint \vec{E}_m \cdot d\vec{L} = \oint (\vec{v} \times \vec{B}) \cdot (-dx \vec{a}_x) = -\int_0^d v B dx \Rightarrow \boxed{fem = -Bvd} \quad (= \text{equação (07) acima})$$



9.1.3 – Fem total devido a um campo variável e um caminho móvel

Se a densidade de fluxo magnético está também variando com o tempo, então nós devemos incluir ambas as contribuições, a fem de transformador (05) e a fem de movimento (09), resultando em:

$$\boxed{fem = \oint \vec{E} \cdot d\vec{L} = - \int_S \frac{\partial \vec{B}}{\partial t} \cdot d\vec{S} + \oint (\vec{v} \times \vec{B}) \cdot d\vec{L}} \quad (10)$$

Nota: Tanto a expressão (10) acima pode ser usada em qualquer situação para calcular a fem, como também pode-se usar a expressão (01). Se o circuito envolver N espiras, sob a ação do fluxo Φ , o valor final da fem deve ser multiplicado por N.

9.2 – CORRENTE DE DESLOCAMENTO

A forma pontual da lei circuital de Ampère,

$$\vec{\nabla} \times \vec{H} = \vec{J} \quad (11)$$

apesar de adequada para aplicação em situações com campos magnéticos estacionários é inadequada para aplicação em condições variáveis no tempo.

Demonstração da validade desta afirmativa:

Tomando a divergência de ambos os lados de (11):

$$\vec{\nabla} \cdot \vec{\nabla} \times \vec{H} = \vec{\nabla} \cdot \vec{J}$$

Mas sabemos que $\text{div}(\text{rot} \vec{H}) = 0$, resultando:

$$\vec{\nabla} \cdot \vec{J} = 0 \quad (12)$$

Porém, a equação da continuidade (seção 5.2) afirma que:

$$\vec{\nabla} \cdot \vec{J} = - \frac{\partial \rho_v}{\partial t} \quad (13)$$

Para que haja igualdade entre (12) e (13) é necessário que:

$$\frac{\partial \rho_v}{\partial t} = 0$$

o qual representa uma limitação irreal para campos variáveis no tempo.

Tornando a expressão (11) compatível para qualquer situação:

Adicionando um termo desconhecido \vec{G} a (11), temos:

$$\vec{\nabla} \times \vec{H} = \vec{J} + \vec{G} \quad (14)$$

Tomando novamente a divergência de ambos os lados:

$$\vec{\nabla} \cdot \vec{\nabla} \times \vec{H} = \vec{\nabla} \cdot \vec{J} + \vec{\nabla} \cdot \vec{G}$$



Fazendo $\text{div}(\text{rot}\vec{H}) = 0$, resulta em:

$$\vec{\nabla} \cdot \vec{J} + \vec{\nabla} \cdot \vec{G} = 0$$

Da equação da continuidade (13),

$$\vec{\nabla} \cdot \vec{G} = -\left(-\frac{\partial \rho_v}{\partial t}\right) = \frac{\partial \rho_v}{\partial t}$$

De $\rho_v = \vec{\nabla} \cdot \vec{D}$, temos:

$$\vec{\nabla} \cdot \vec{G} = \frac{\partial(\vec{\nabla} \cdot \vec{D})}{\partial t} = \vec{\nabla} \cdot \frac{\partial \vec{D}}{\partial t}$$

Daí, chegamos a:

$$\vec{G} = \frac{\partial \vec{D}}{\partial t} \quad (15)$$

Substituindo (15) em (14), chegamos finalmente a:

$$\boxed{\vec{\nabla} \times \vec{H} = \vec{J} + \frac{\partial \vec{D}}{\partial t}} \quad (\text{Lei circuital de Ampère, forma pontual}) \quad (16)$$

Fazendo

$$\vec{J}_d = \frac{\partial \vec{D}}{\partial t} \quad (17)$$

sendo \vec{J}_d chamada de densidade de corrente de deslocamento.

Substituindo (17) em (16):

$$\vec{\nabla} \times \vec{H} = \vec{J} + \vec{J}_d \quad (18)$$

Semelhantemente a corrente de condução, pode-se determinar a corrente de deslocamento por:

$$I_d = \int_S \vec{J}_d \cdot d\vec{S} = \int_S \frac{\partial \vec{D}}{\partial t} \cdot d\vec{S} \quad (19)$$

Integrando (16) sobre uma superfície S, para obtenção da forma integral da lei circuital de Ampère:

$$\oint \vec{\nabla} \times \vec{H} \cdot d\vec{S} = \oint_S \vec{J} \cdot d\vec{S} + \int_S \frac{\partial \vec{D}}{\partial t} \cdot d\vec{S}$$

Aplicando o teorema de Stokes ao primeiro membro da expressão acima, chegamos a:

$$\boxed{\oint \vec{H} \cdot d\vec{L} = I + I_d = I + \int_S \frac{\partial \vec{D}}{\partial t} \cdot d\vec{S}} \quad (\text{Lei circuital de Ampère, forma integral}) \quad (20)$$



9.3 – EQUAÇÕES DE MAXWELL EM FORMA PONTUAL OU DIFERENCIAL

As quatro equações básicas de Maxwell são as seguintes:

$$(1) \quad \vec{\nabla} \times \vec{E} = -\frac{\partial \vec{B}}{\partial t} \quad (\text{Lei de Faraday, forma pontual}) \quad (21)$$

$$(2) \quad \vec{\nabla} \times \vec{H} = \vec{J} + \frac{\partial \vec{D}}{\partial t} = \vec{J} + \vec{J}_d \quad (\text{Lei de Ampère, forma pontual}) \quad (22)$$

$$(3) \quad \vec{\nabla} \cdot \vec{D} = \rho_v \quad (\text{Lei de Gauss do cpo. elétrico, forma pontual}) \quad (23)$$

$$(4) \quad \vec{\nabla} \cdot \vec{B} = 0 \quad (\text{Lei de Gauss do cpo. magnético, forma pontual}) \quad (24)$$

Equações auxiliares:

$$(5) \quad \vec{D} = \epsilon \vec{E} \quad (25)$$

$$(6) \quad \vec{B} = \mu \vec{H} \quad (26)$$

$$(7) \quad \vec{J} = \sigma \vec{E} \quad (27)$$

$$(8) \quad \vec{J} = \rho \vec{v} \quad (28)$$

Equações envolvendo campos de polarização e magnetização:

$$(9) \quad \vec{D} = \epsilon_0 \vec{E} + \vec{P} \quad (29)$$

$$(10) \quad \vec{B} = \mu_0 (\vec{H} + \vec{M}) \quad (30)$$

Para materiais lineares:

$$(11) \quad \vec{P} = \chi_e \epsilon_0 \vec{E} \quad (31)$$

$$(12) \quad \vec{M} = \chi_m \vec{H} \quad (32)$$

Equação da força de Lorentz

$$(13) \quad \vec{f} = \vec{f}_E + \vec{f}_M = \rho_v (\vec{E} + \vec{v} \times \vec{B}) \quad (\text{força por unidade de volume}) \quad (32)$$

9.4 – EQUAÇÕES DE MAXWELL EM FORMA INTEGRAL

As quatro equações básicas de Maxwell são as seguintes:

$$(1) \quad \oint \vec{E} \cdot d\vec{L} = -\int_S \frac{\partial \vec{B}}{\partial t} \cdot d\vec{S} \quad (\text{Lei de Faraday, forma integral}) \quad (33)$$

$$(2) \quad \oint \vec{H} \cdot d\vec{L} = I + \int_S \frac{\partial \vec{D}}{\partial t} \cdot d\vec{S} \quad (\text{Lei de Ampère, forma integral}) \quad (34)$$

$$(3) \quad \oint_S \vec{D} \cdot d\vec{S} = \int_{vol} \rho_v dv \quad (\text{Lei de Gauss do cpo. elétrico, forma integral}) \quad (35)$$

$$(4) \quad \oint_S \vec{B} \cdot d\vec{S} = 0 \quad (\text{Lei de Gauss do cpo. magnético, forma integral}) \quad (36)$$



Condições de contorno entre 2 meios ou regiões quaisquer:

Componentes tangenciais:

$$(5) \quad E_{t1} = E_{t2} \quad (37)$$

$$(6) \quad H_{t1} - H_{t2} = k \quad (\text{Se } k = 0, \text{ então: } H_{t1} = H_{t2}) \quad (38)$$

Componentes normais:

$$(7) \quad D_{n1} - D_{n2} = \rho_S \quad (\text{Se } \rho_S = 0, \text{ então: } D_{n1} = D_{n2}) \quad (39)$$

$$(8) \quad B_{n1} = B_{n2} \quad (40)$$

Condições de contorno entre 2 regiões se a região 2 for condutora perfeita ($\sigma = \infty$):

Componentes tangenciais:

$$(9) \quad E_{t1} = 0 \quad (41)$$

$$(10) \quad H_{t1} = k \quad (42)$$

Componentes normais:

$$(11) \quad D_{n1} = \rho_S \quad (43)$$

$$(12) \quad B_{n1} = 0 \quad (44)$$

9.5 – EXEMPLOS DE CÁLCULO DA INDUÇÃO ELETROMAGNÉTICA

Como visto na seção 9.1, quando um circuito se movimenta ($\bar{v} \neq 0$) e \bar{B} varia com o tempo ($\partial \bar{B} / \partial t \neq 0$), a *fem* induzida total (representada nas figuras pelo símbolo v) no circuito é dada por:

$$\boxed{fem = fem_m + fem_t = \oint (\bar{v} \times \bar{B}) \cdot d\bar{\ell} - \int_S \frac{\partial \bar{B}}{\partial t} \cdot d\bar{S}} \quad (\text{caso geral}) \quad (45)$$

sendo fem_m e fem_t as *fem*(s) de movimento e de transformador, respectivamente.

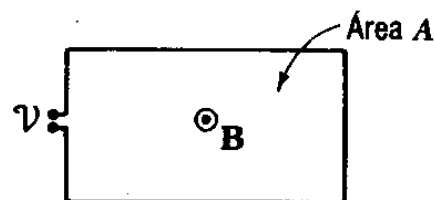
A equação (45) será usada nos exemplos a seguir que apresentam grau de dificuldade crescente.

Exemplo 1: Espira – sem movimento e com variação de \bar{B} (ver figura).

Seja $B = B_0 \cos \omega t$ na espira fixa de área A da figura.

Fazendo $\bar{v} = 0$ em (1), obtemos:

$$\boxed{fem = fem_t = - \int_S \frac{\partial \bar{B}}{\partial t} \cdot d\bar{S} = A \omega B_0 \sin \omega t} \quad [V]$$



(**Nota:** $d\bar{S}$ tomado no mesmo sentido de \bar{B})

Exemplo 2: Espira – com movimento e sem variação de \vec{B} (ver figura).

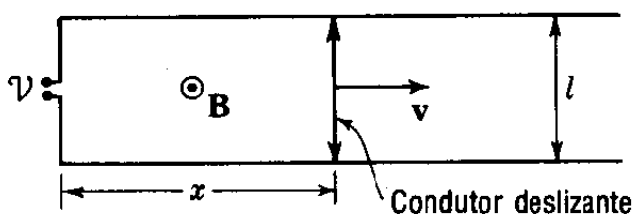
Seja a espira formada com o condutor
deslizante conforme figura.

Se $\vec{B} = \text{constante} \Rightarrow \frac{\partial \vec{B}}{\partial t} = 0$.

Substituindo em (45), obtemos:

$$fem = fem_m = \oint (\vec{v} \times \vec{B}) \cdot d\vec{\ell} = -vB\ell \text{ [V]}$$

(Nota: $d\vec{\ell}$ tomado de acordo com $d\vec{S}$ ou \vec{B})



Exemplo 3: Espira – com movimento e com variação de \vec{B} (ver figura anterior).

Na figura anterior, faça $B = B_0 \cos \omega t$.

Assim $\vec{v} \neq 0$ e $\partial \vec{B} / \partial t \neq 0$ na equação (45) acima.

Cálculo da fem_m devido a velocidade do condutor (fem de movimento) – 1ª parcela de (45):

$$fem_m = \oint (\vec{v} \times \vec{B}) \cdot d\vec{\ell} = -vB\ell = -v\ell B_0 \cos \omega t \quad (\text{Nota: } d\vec{\ell} \text{ de acordo com } d\vec{S} \text{ ou } \vec{B})$$

Cálculo da fem_t devido a variação temporal de \vec{B} (fem de transformador) – 2ª parcela de (45):

$$fem_t = - \int_S \frac{\partial \vec{B}}{\partial t} \cdot d\vec{S} = A\omega B_0 \sin \omega t = \omega \ell x B_0 \sin \omega t$$

Cálculo da fem total:

$$fem = fem_m + fem_t = -vB_0\ell \cos \omega t + \omega x B_0\ell \sin \omega t$$

$$fem = B_0\ell \sqrt{v^2 + (\omega x)^2} \sin(\omega t + \delta)$$

onde $\delta = \tan^{-1}(-v/\omega x)$ e x = comprimento instantâneo da espira

Exemplo 4: Tira condutora móvel – sem variação de \vec{B} ($\partial \vec{B} / \partial t = 0$) (ver figura).

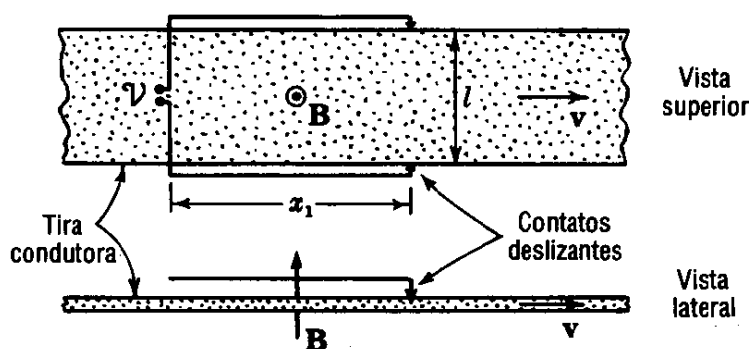
Seja a espira fixa formada com a tira
deslizante da figura.

Se $\vec{B} = \text{constante} \Rightarrow \frac{\partial \vec{B}}{\partial t} = 0$

Substituindo em (45), obtemos:

$$fem_m = \oint (\vec{v} \times \vec{B}) \cdot d\vec{\ell} = -vB\ell$$

(Nota: $d\vec{\ell}$ tomado de acordo com $d\vec{S}$ ou \vec{B}) (Aplicação: Gerador de disco de Faraday)



Exemplo 5: Tira móvel – com variação de \vec{B} .

Na figura anterior faça $B = B_0 \cos \omega t$

Cálculo da fem_m devido ao movimento da tira – 1ª parcela de (45):

$$fem_m = \oint (\vec{v} \times \vec{B}) \cdot d\vec{\ell} = -vB\ell = -vB_0\ell \cos \omega t$$

Cálculo da fem_t devido a variação temporal de \vec{B} – 2ª parcela de (45):

$$fem_t = -\int_S \frac{\partial \vec{B}}{\partial t} \cdot d\vec{S} = B_0 \omega \sin \omega t A = \omega x_1 B_0 \ell \sin \omega t$$

Cálculo da fem total:

$$fem = fem_m + fem_t = -vB_0\ell \cos \omega t + \omega x_1 B_0 \ell \sin \omega t$$

$$fem = B_0 \ell \sqrt{v^2 + (\omega x_1)^2} \sin(\omega t + \delta)$$

$$\text{onde } \delta = \tan^{-1}(-v/(\omega x_1))$$

Exemplo 6: Espira rotativa – sem variação de \vec{B} (gerador CA) – (ver figura).

Seja a figura representativa de um gerador CA elementar (com uma única espira), onde temos:

- (a) vista em perspectiva, com a espira em posição vertical,
- (b) vista da seção transversal perpendicular ao eixo, com a espira numa posição qualquer.

Seja θ o ângulo entre \vec{v} e \vec{B} medido no sentido anti-horário, sendo $\theta = 0$ para a espira na posição vertical (considerar como instante $t = 0$).

$$\text{Se } \vec{B} = \text{constante} \Rightarrow \frac{\partial \vec{B}}{\partial t} = 0$$

De (45) e $d\vec{\ell}$ tomado de acordo com $d\vec{S}$ (regra do saca-rolhas):

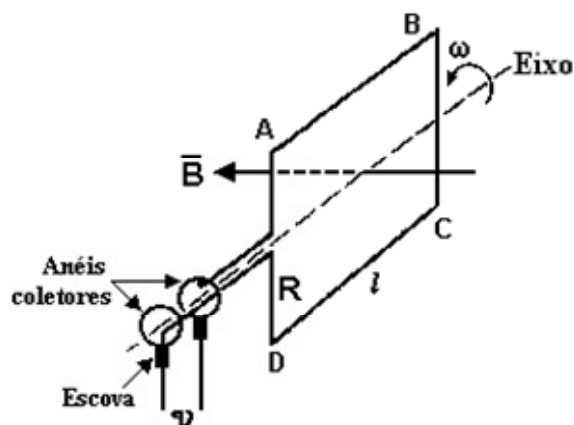
$$fem_m = \oint (\vec{v} \times \vec{B}) \cdot d\vec{\ell} = 2vB\ell \sin \theta$$

$$\text{Como } \theta = \omega t \text{ e } v = \omega R$$

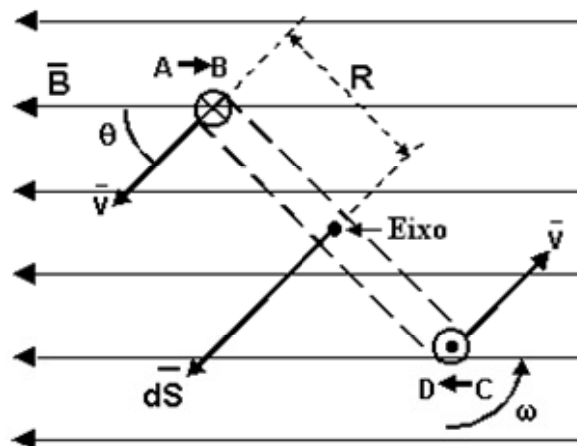
$$fem_m = 2\omega R\ell B \sin \omega t$$

Como $2R\ell = A = \text{área da espira}$

$$fem_m = \omega B A \sin \omega t$$



(a) Vista em perspectiva, no instante $t = 0$



(b) Vista frontal no instante t ($\theta = \omega t$)

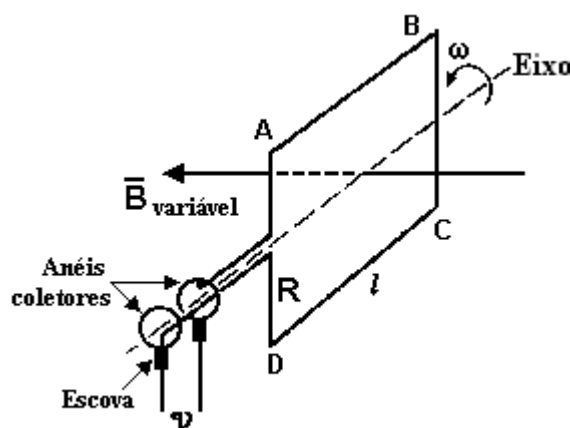


Exemplo 7: Espira rotativa – com variação de \vec{B} (ver figura).

Seja $B = B_0 \sin \omega t$ na figura (sendo a frequência ω de oscilação deste campo igual a velocidade angular ω de rotação da espira).

Quando $t = 0 \Rightarrow \vec{B} = 0$ e $\theta = 0$ (espira na posição vertical)

De (45) e $d\vec{\ell}$ consistente com $d\vec{S}$ (regra da mão direita ou do saca-rolhas), obtemos:



(a) Vista em perspectiva, no instante $t = 0$

$$fem_m = 2\omega R \ell B_0 \sin^2 \omega t = \omega R \ell B_0 (1 - \cos 2\omega t)$$

$$fem_t = -2\omega R \ell B_0 \cos^2 \omega t = -\omega R \ell B_0 (1 + \cos 2\omega t)$$

$$fem = fem_m + fem_t = -2\omega R \ell B_0 \cos 2\omega t$$

Notas sobre o exemplo 7:

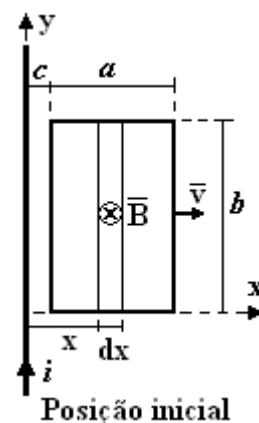
- A componente CC (estacionária ou independente do tempo) da fem, existente tanto em fem_m como em fem_t , desapareceu na fem total (v);
- A fem total é função do dobro da frequência angular ω (expressa em rad/s) que representa tanto a frequência (ω) de rotação da espira como também a frequência (ω) de variação temporal do campo magnético.

Exemplo 8: Espira retangular em três situações distintas

Seja a configuração, no vácuo, constituída por uma espira retangular próxima a um condutor retilíneo infinito no eixo y e com corrente no sentido \vec{a}_y .

Determinar a **fem** induzida na espira considerando as 3 situações seguintes:

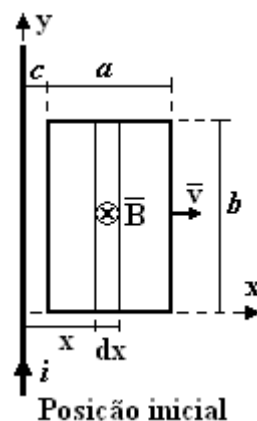
- A corrente estacionária ($i = I_0$) e a espira móvel ($\vec{v} = v\vec{a}_x$);
- A corrente variável ($i = i(t)$) e a espira estacionária ($\vec{v} = 0$);
- A corrente variável ($i = i(t)$) e a espira móvel ($\vec{v} = v\vec{a}_x$).



Atenção: Tomar $d\vec{S}$ no mesmo sentido de \vec{B} . Assim, $d\vec{\ell}$ deve ser tomado no sentido horário na espira quadrada (regra do saca-rolhas).



Modo 1: Cálculo da fem por $fem = \oint (\vec{v} \times \vec{B}) \cdot d\vec{L} - \int_S \frac{\partial \vec{B}}{\partial t} \cdot d\vec{S}$



(a) A corrente estacionária produz um campo magnético também estacionário

$$\vec{B} = \mu_0 \vec{H} = \frac{\mu_0 i}{2\pi x} (-\vec{a}_z) = \frac{\mu_0 I_0}{2\pi x} (-\vec{a}_z)$$

que depende da coordenada x

Neste caso: $fem = fem_m = \oint (\vec{v} \times \vec{B}) \cdot d\vec{L}$ com $d\vec{L}$ obtido apenas nos 2 lados paralelos ao condutor retilíneo

$$fem = \int_{y=0}^b \vec{v} \vec{a}_x \times \frac{\mu_0 I_0}{2\pi(c+vt)} (-\vec{a}_z) \cdot dy (+\vec{a}_y) + \int_{y=0}^b \vec{v} \vec{a}_x \times \frac{\mu_0 I_0}{2\pi(c+a+vt)} (-\vec{a}_z) \cdot dy (-\vec{a}_y)$$

$$fem = \frac{\mu_0 I_0 v b}{2\pi(c+vt)} - \frac{\mu_0 I_0 v b}{2\pi(c+a+vt)} = \frac{\mu_0 I_0 v b}{2\pi} \left(\frac{(c+a+vt) - (c+vt)}{(c+vt)(c+a+vt)} \right)$$

Donde obtemos: $fem = \frac{\mu_0 v}{2\pi} \frac{ab}{(c+vt)(c+a+vt)} I_0$

(b) A corrente variável produz um campo magnético também variável expresso por

$$\vec{B} = \mu_0 \vec{H} = \frac{\mu_0 i}{2\pi x} (-\vec{a}_z) = \frac{\mu_0 i(t)}{2\pi x} (-\vec{a}_z) \text{ que depende da coordenada } x \text{ e do tempo } t$$

Neste caso: $fem = fem_t = - \int_S \frac{\partial \vec{B}}{\partial t} \cdot d\vec{S}$ sendo $\frac{\partial \vec{B}}{\partial t} = \frac{\mu_0}{2\pi x} \frac{di}{dt} (-\vec{a}_z)$ e $d\vec{S} = b dx (-\vec{a}_z)$

$$fem = - \int_{x=c}^{c+a} \left(\frac{\mu_0}{2\pi x} \frac{di}{dt} \right) (-\vec{a}_z) \cdot b dx (-\vec{a}_z) = - \frac{\mu_0 b}{2\pi} \frac{di}{dt} \int_{x=c}^{c+a} \frac{dx}{x}$$

Donde obtemos: $fem = - \frac{\mu_0 b}{2\pi} \ln \frac{c+a}{c} \frac{di}{dt}$

(c) Neste caso tem-se o campo variável e o movimento da espira retangular, resultando em:

$$fem = \oint (\vec{v} \times \vec{B}) \cdot d\vec{L} - \int_S \frac{\partial \vec{B}}{\partial t} \cdot d\vec{S} = fem_m + fem_t$$

Substitui $i = I_0$ por $i = i(t)$ em (a): $fem_m = \frac{\mu_0 v}{2\pi} \frac{ab}{(c+vt)(c+a+vt)} i(t)$

Acrescenta-se à posição da espira $+vt$ em (b): $fem_t = - \frac{\mu_0 b}{2\pi} \ln \frac{c+a+vt}{c+vt} \frac{di}{dt}$

Somando as duas expressões:

$$fem = \frac{\mu_0 v}{2\pi} \frac{ab}{(c+vt)(c+a+vt)} i(t) - \frac{\mu_0 b}{2\pi} \ln \frac{c+a+vt}{c+vt} \frac{di}{dt}$$



Modo 2: Cálculo da fem por $fem = -\frac{d\Phi}{dt}$

- (a) A corrente estacionária produz um campo magnético também estacionário expresso por $\vec{B} = \mu_0 \vec{H} = \frac{\mu_0 i}{2\pi x} (-\vec{a}_z) = \frac{\mu_0 I_0}{2\pi x} (-\vec{a}_z)$ que depende da coordenada x.

$$\text{Assim, } \Phi = \int_S \vec{B} \cdot d\vec{S} = \int_{x=c+vt}^{c+a+vt} \frac{\mu_0 I_0}{2\pi x} (-\vec{a}_z) \cdot b dx (-\vec{a}_z) = \frac{\mu_0 I_0 b}{2\pi} \ln \frac{c+a+vt}{c+vt}$$

Neste caso:

$$fem = -\frac{d\Phi}{dt} = -\frac{\mu_0 I_0 b}{2\pi} \frac{\frac{v(c+vt) - v(c+a+vt)}{(c+vt)^2}}{\frac{c+a+vt}{c+vt}} = -\frac{\mu_0 I_0 b}{2\pi} \frac{-va}{(c+vt)^2} \frac{c+vt}{c+a+vt}$$

Donde obtemos: $fem = \frac{\mu_0 v}{2\pi} \frac{ab}{(c+vt)(c+a+vt)} I_0$

- (b) A corrente variável produz um campo magnético também variável expresso por $\vec{B} = \mu_0 \vec{H} = \frac{\mu_0 i}{2\pi x} (-\vec{a}_z) = \frac{\mu_0 i(t)}{2\pi x} (-\vec{a}_z)$ que depende da coordenada x e do tempo t

$$\text{Assim, } \Phi = \int_S \vec{B} \cdot d\vec{S} = \int_{x=c}^{c+a} \frac{\mu_0 i(t)}{2\pi x} (-\vec{a}_z) b dx (-\vec{a}_z) = \frac{\mu_0 b}{2\pi} i(t) \ln \frac{c+a}{c}$$

Neste caso: $fem = -\frac{d\Phi}{dt} = -\frac{\mu_0 b}{2\pi} \ln \frac{c+a}{c} \frac{di}{dt}$

Donde obtemos: $fem = -\frac{\mu_0 b}{2\pi} \ln \frac{c+a}{c} \frac{di}{dt}$

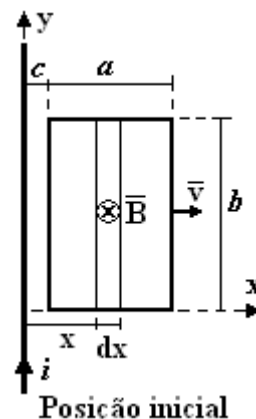
- (c) Neste caso tem-se o campo variável $\vec{B} = \frac{\mu_0 i(t)}{2\pi x} (-\vec{a}_z)$ e o movimento da espira retangular,

resultando em: $\Phi = \int_S \vec{B} \cdot d\vec{S} = \int_{x=c+vt}^{c+a+vt} \frac{\mu_0 i(t)}{2\pi x} (-\vec{a}_z) b dx (-\vec{a}_z) = \frac{\mu_0 b}{2\pi} i(t) \ln \frac{c+a+vt}{c+vt}$

Neste caso: $fem = -\frac{d\Phi}{dt} = -\frac{\mu_0 b}{2\pi} \left[i(t) \frac{\frac{v(c+vt) - v(c+a+vt)}{(c+vt)^2}}{\frac{c+a+vt}{c+vt}} + \ln \frac{c+a+vt}{c+vt} \frac{di}{dt} \right]$

Donde chegamos finalmente a:

$$fem = \frac{\mu_0 v}{2\pi} \frac{ab}{(c+vt)(c+a+vt)} i(t) - \frac{\mu_0 b}{2\pi} \ln \frac{c+a+vt}{c+vt} \frac{di}{dt}$$





EXERCÍCIOS PROPOSTOS:

9.1) Partindo das equações de Maxwell no espaço livre (vácuo), determinar:

- O campo magnético \vec{H} a partir de $\vec{E} = A \cos(\omega t - ny) \vec{a}_x$.
- O campo elétrico \vec{E} a partir de $\vec{B} = y \cos(\omega t - nz) \vec{a}_y + \sin(\omega t - nz) \vec{a}_z$

Nota: A , ω e n são constantes e $n = \omega \sqrt{\mu_0 \epsilon_0}$.

Respostas: a) $\vec{H} = -\frac{An}{\mu_0 \omega} [\cos(\omega t - ny)] \vec{a}_z$ ou $\vec{H} = -\frac{\epsilon_0 A \omega}{n} [\cos(\omega t - ny)] \vec{a}_z$

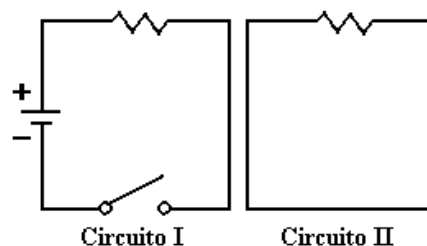
b) $\vec{E} = \frac{ny}{\mu_0 \epsilon_0 \omega} [\cos(\omega t - nz)] \vec{a}_x$ ou $\vec{E} = \frac{y \omega}{n} [\cos(\omega t - nz)] \vec{a}_x$.

9.2) a) Uma espira quadrada de lado $\ell = 1$ [m] tem seu plano normal a um campo magnético \vec{B} .

Determinar a fem máxima induzida na espira nas seguintes condições:

- A espira é mantida estacionária enquanto o campo magnético varia de acordo com $B = B_0 \cos 2\pi f t$ sendo $f = 159$ [Hz] e $B_0 = 3$ [mT];
- O campo é mantido fixo em $B = B_0 = 3$ [mT] enquanto a espira gira a uma rotação constante $f = 159$ [rot./s], cortando o fluxo magnético devido a B .

- b) Na figura ao lado, a corrente induzida no circuito II, à direita, será no sentido horário ou anti-horário, quando a chave do circuito I é fechada? Justificar sua resposta com os conceitos já estudados.



Respostas: a.1) $fem_{max} \approx 3$ [V];

a.2) $fem_{max} \approx 3$ [V];

- b) Quando a chave é fechada; uma corrente flui no sentido horário no Circuito I, produzindo um fluxo que entra no laço do Circuito I e sai no laço do Circuito II. Pela Lei de Lenz, a corrente induzida no laço do Circuito II deve produzir um fluxo em oposição ao fluxo indutor, isto é, entrando no laço do Circuito II. Então, a corrente induzida no Circuito II deve fluir no sentido horário.

9.3) a) Junto a uma superfície condutora perfeita temos os campos de uma onda eletromagnética expressos por: $E = 8$ [V/m] e $H = 2,8 \cdot 10^{-3}$ [A/m]. Determinar os valores das densidades de carga e de corrente na superfície do condutor.

- b) Em uma certa região do espaço livre o campo elétrico vale $\vec{E}(t) = E_0 \sin \beta z \cos \omega t \vec{a}_x$ sendo E_0 o valor máximo do campo elétrico, ω a frequência [rad/s], t o tempo [s], β um parâmetro [rad/m] e z a distância [m].

b.1) Determinar 2 expressões para $\vec{H}(t)$ nesta região partindo das equações de Maxwell;

b.2) A partir destas 2 expressões de $\vec{H}(t)$ calcular também o valor numérico de ω/β .

Respostas: a) $\rho_s = 8\epsilon_0$ [C/m²] e $K = 2,8 \cdot 10^{-3}$ [A/m];

b.1) $\vec{H} = -\frac{\beta E_0}{\mu_0 \omega} \cos \beta z \cdot \sin \omega t \vec{a}_y$ e $\vec{H} = -\frac{\epsilon_0 \omega E_0}{\beta} \cos \beta z \cdot \sin \omega t \vec{a}_y$;

b.2) $\frac{\omega}{\beta} = \frac{1}{\sqrt{\mu_0 \epsilon_0}} = c = 3 \times 10^8$ [m/s] = velocidade da luz.

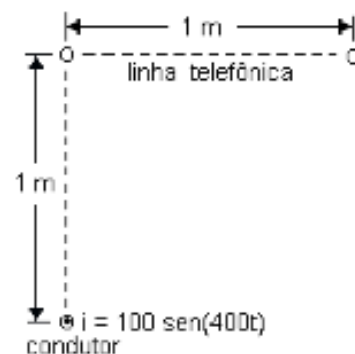


- 9.4) Duas bobinas A e B, de 300 e 600 espiras respectivamente, são colocadas lado a lado. Pela bobina A, faz-se circular uma corrente de 1,5 [A], produzindo um fluxo de 0,12 [mWb] nesta bobina e um fluxo de 0,09 [mWb] na bobina B. Calcular:
- a) A auto-indutância da bobina A;
 - b) A indutância mútua entre as bobinas A e B;
 - c) O valor médio da fem induzida em B quando se interrompe a corrente de A num tempo de 0,2 [s].

Respostas: a) $L_A = 24$ [mH]; b) $M = 36$ [mH]; c) $fem_B = 0,27$ [V].

- 9.5) Um condutor retilíneo longo conduz uma corrente expressa por:
 $i = 100 \sin(400t)$, onde t é o tempo.

Determinar a fem (por unidade de comprimento) induzida por este condutor sobre uma linha telefônica próxima, constituída por dois cabos paralelos ao condutor, conforme mostra o esquema.



Resposta: $\frac{fem}{\ell} = -2,77 \cos 400t$ [mV/m].

- 9.6) Uma bobina (primário) de 2000 espiras está enrolada sobre um núcleo de ar de 100 [cm] de comprimento e 2 [cm] de diâmetro. Outra bobina (secundário) está enrolada sobre a bobina primária. Admitindo que a corrente na bobina primária varia de 0 a 10 [A] em 0,01 segundo e que não haja fluxo disperso, determine:

- a) O número de espiras que a bobina secundária deve possuir para que a fem induzida nesta seja de 2 [V];
- b) O valor médio da fem induzida na bobina secundária, admitindo que ela possui 1100 espiras e o núcleo é de ferro, apresentando uma permeabilidade relativa constante e igual a 115.

Respostas: a) $N_2 = 2533$ espiras; b) $fem_2 = 100$ [V].

- 9.7) Uma espira quadrada possui os vértices em (0; 0; 0), (0,2; 0; 0), (0,2; 0,2; 0) e (0; 0,2; 0) em $t = 0$. A espira é um condutor perfeito exceto em um de seus lados, onde existe um pequeno resistor de 100 [Ω] e está se movendo através do campo $\vec{B} = 5 \left[\cos(6 \cdot 10^8 t - 2y) \right] \vec{a}_z$ [μT]

com uma velocidade constante de $40 \vec{a}_x$ [m/s]. Calcular:

- a) A tensão induzida (fem) na espira em função do tempo;
- b) A potência dissipada (P_R) no resistor em função do tempo;
- c) O torque (T) produzido na espira em função do tempo.

Respostas:

- a) $fem = -3 \cdot 10^8 [\cos(6 \cdot 10^8 t - 0,4) - \cos(6 \cdot 10^8 t)]$ [μV];
- b) $P_R = 142,1 \cos^2(6 \cdot 10^8 t - 78,5^\circ)$ [W]; c) $T = 0$.



9.8) Num fio infinito, situado sobre o eixo y, circula uma corrente I no sentido $+\vec{a}_y$. Uma espira quadrada de lado a, situa-se no plano xy, com seu lado paralelo e próximo do fio, mantido inicialmente a uma distância h do fio. Calcular a fem induzida na espira, se:

- a) A espira permanece imóvel e a corrente do fio é $I = I_m \sin \omega t$;
b) A espira se afasta do fio com velocidade constante e igual a v e a corrente do fio é $I = I_m = \text{constante}$.

Respostas: a) $fem = -\frac{\mu_0 I_m \omega a \cos \omega t}{2\pi} \ln\left(\frac{h+a}{h}\right)$; b) $fem = \frac{\mu_0 I_m v a^2}{2\pi h(h+a)}$.

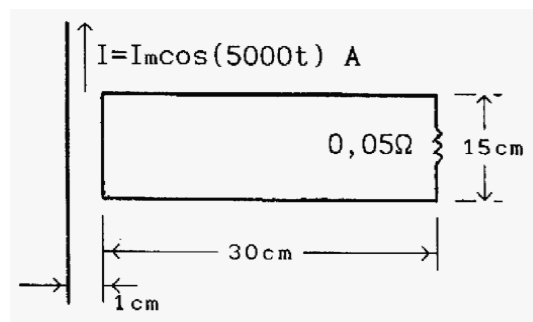
9.9) Um anel de 3 voltas, com $0,5 \text{ [m}^2\text{]}$ de área, situado no ar, tem um campo magnético uniforme normal ao plano do anel.

- a) Se a densidade de fluxo variar de 5 [mT/s] qual é a fem que aparece nos terminais do anel?
b) Se a fem nos terminais do anel for de 100 [mV] , qual será a taxa de variação do campo magnético?

Respostas: a) $fem = -7,5 \text{ [mV]}$; b) $\frac{dB}{dt} = -66,6 \text{ [mT/s]}$.

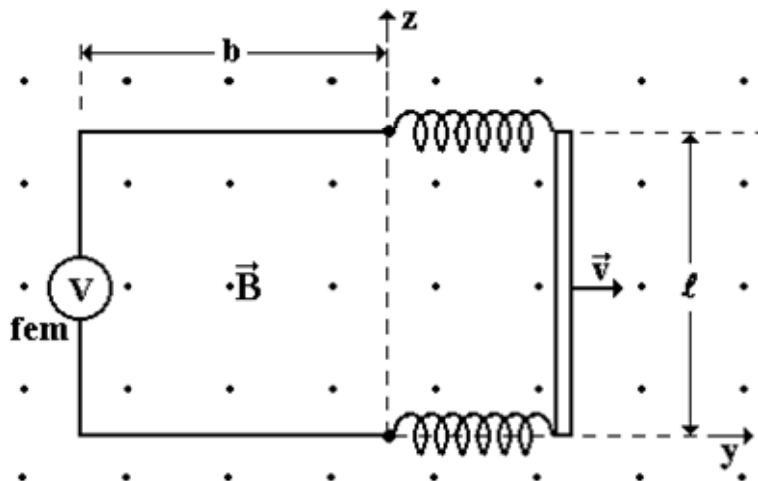
9.10) Calcular o valor máximo da corrente no fio infinito da figura a fim de que o valor eficaz da corrente na resistência de $0,05 \text{ [}\Omega\text{]}$ da espira retangular seja igual a $0,1 \text{ [A]}$.

Resposta: $I_m = 13,73 \text{ [A]}$.



9.11) A figura abaixo mostra um condutor retilíneo, longo e estreito, de comprimento ℓ , conectado através de fios condutores flexíveis a um voltímetro e executando um movimento harmônico simples no plano yz, sendo submetido a um campo magnético variável dado por $\vec{B} = B_{\max} \cos \omega t \vec{a}_x$. O eixo z é uma posição de equilíbrio do condutor o qual vibra no plano yz (entre $y = -b$ e $y = +b$), com uma velocidade dada por $\vec{v} = v_{\max} \cos \omega t \vec{a}_y$.

- a) Determinar a fem induzida no condutor, desprezando a contribuição dos fios flexíveis.
b) Indicar, na figura, o sentido da corrente resultante no instante $t = \frac{\pi}{2\omega}$ segundos.



Respostas: a) $fem = -v_{\max} B_{\max} l \cos 2\omega t + \omega B_{\max} l b \sin \omega t$; b) Sentido anti-horário.

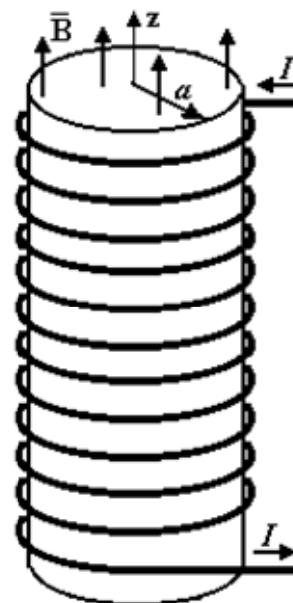


9.12) Considere uma região cilíndrica infinitamente longa contendo um campo alternado dado em coordenadas cilíndricas como $\vec{B} = B_0 \cos(\omega t + \alpha) \vec{a}_z$ em $\rho \leq a$ e $\vec{B} = 0$ em $\rho > a$, sendo B_0 e α constantes, e ω a frequência angular. Isto significa que \vec{B} é espacialmente constante sobre a área do círculo de raio ρ e oscila harmonicamente no tempo, como acontece com um solenóide infinito ideal onde circula corrente alternada. Determinar o campo elétrico induzido \vec{E} , devido a este campo magnético alternado \vec{B} , na região:

- $\rho \leq a$, isto é, internamente a região cilíndrica ou ao solenóide infinito ideal de raio a ;
- $\rho > a$, isto é, externamente a região cilíndrica ou ao solenóide infinito ideal de raio a ;

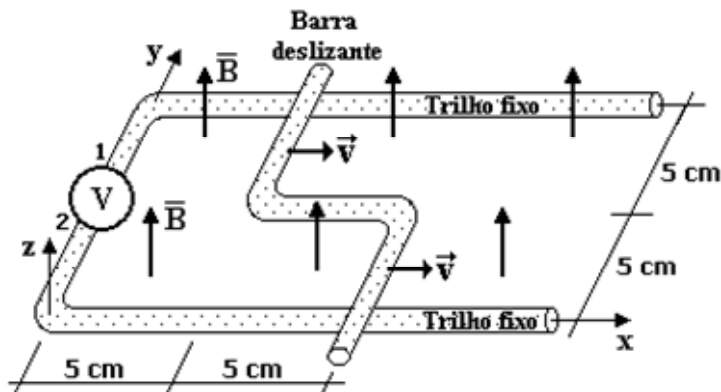
Respostas: a) $E_\phi = \frac{1}{2} B_0 \omega \rho \sin(\omega t + \alpha)$ para $\rho \leq a$;

$$b) E_\phi = \frac{1}{2} B_0 \omega \frac{a^2}{\rho} \sin(\omega t + \alpha) \text{ para } \rho > a.$$



9.13) A figura abaixo mostra uma barra condutora (formada por três segmentos) situada sobre dois trilhos condutores paralelos conectados a um voltímetro. Toda a configuração está submetida a uma densidade de fluxo magnético \vec{B} . Calcular a fem induzida em cada uma das seguintes situações:

- $\vec{B} = 2 \vec{a}_z \mu\text{T}$, $\vec{v} = 6 \vec{a}_x \text{ m/s}$;
- $\vec{B} = 2e^{-60t} \vec{a}_z \mu\text{T}$, $\vec{v} = 0 \text{ m/s}$;
- $\vec{B} = 2e^{-60t} \vec{a}_z \mu\text{T}$, $\vec{v} = 6 \vec{a}_x \text{ m/s}$.



Para cada situação acima dizer também qual é o sentido da corrente induzida, justificando a sua resposta.

Respostas: Para concordar com o vetor \vec{B} , adota-se para a *fem* o sentido anti-horário. Após o cálculo da *fem* (adotada), chega-se então aos seguintes valores:

- $fem = -1,2 \mu\text{V}$. Logo a corrente será no sentido horário.
- $fem = 0,9 e^{-60t} \mu\text{V}$. Logo a corrente será no sentido anti-horário.
- $fem = -0,3 e^{-60t} \mu\text{V}$. Logo a corrente será no sentido horário.

Justificativa para o sentido da corrente: ela tem sempre o mesmo sentido da *fem* real. Esta, por sua vez, tem o mesmo sentido da *fem* adotada se o sinal obtido for positivo. Caso contrário, a *fem* real tem sentido oposto ao da *fem* adotada.



9.14) De acordo com a definição de corrente de deslocamento (I_d), mostrar que:

- ela é igual à corrente de condução (I) que chega a um capacitor ideal (sem corrente de fuga) de placas planas paralelas;
- ela é praticamente desprezível no interior de um fio condutor (por exemplo, o fio de cobre com condutividade elétrica $\sigma = 5 \times 10^7$ S/m e permissividade elétrica $\epsilon \approx \epsilon_0$) quando esse está sujeito a uma corrente alternada senoidal $I = I_{\text{máx}} \sin \omega t$ (ω = velocidade angular expressa em rad/s).

Respostas: a) Demonstração;

$$\text{b) } \frac{I_{d\text{máx}}}{I_{\text{máx}}} = \frac{\epsilon \omega}{\sigma} \approx 10^{-18} f \approx 0 \text{ para baixos valores da frequência } f \text{ (ex.: } f = 60 \text{ Hz)}$$



Anotações